

研究报告

## 鲍曼不动杆菌铁蛋白的抗氧化功能研究

谭潇<sup>1,2</sup> 李冉辉<sup>2</sup> 游晓星<sup>2\*</sup> 蒋传好<sup>2</sup> 黄泽智<sup>1</sup>

(1. 邵阳医学高等专科学校 湖南 邵阳 422000)

(2. 南华大学 病原微生物研究所 特殊病原体防控湖南省重点实验室 湖南 衡阳 421001)

**摘要:**【目的】克隆鲍曼不动杆菌铁蛋白(*Abferritin*)基因，并研究其抗氧化功能。【方法】荧光定量PCR检测氧化应激下*Abferritin*基因的表达量，并将其基因克隆到表达载体pET28a以构建重组质粒pET28a-*Abferritin*，转化大肠杆菌BL21(DE3)得到重组菌BL/pET28a-*Abferritin*，IPTG诱导目的蛋白表达并利用镍柱亲和层析纯化该蛋白。比色法测定*Abferritin*蛋白的Fe<sup>2+</sup>氧化酶活性，自由基清除实验测定其抗氧化功能。菌落计数法观察重组大肠杆菌在H<sub>2</sub>O<sub>2</sub>应激条件下的存活率。【结果】*Abferritin*基因在氧化应激下表达增高。重组质粒在大肠杆菌BL21(DE3)中高效表达，通过Ni<sup>2+</sup>亲和层析纯化获得了*Abferritin*蛋白。该蛋白具有Fe<sup>2+</sup>氧化酶活性，能有效减少氧自由基的形成及提高大肠杆菌抵抗氧化应激的能力。【结论】氧化应激能诱导*Abferritin*基因表达上调，且该蛋白具有亚铁氧化酶活性和抗氧化功能。

**关键词:** 鲍曼不动杆菌，铁蛋白，抗氧化活性

## The anti-oxidative activity of *Acinetobacter baumannii* ferritin protein

TAN Xiao<sup>1,2</sup> LI Ran-Hui<sup>2</sup> YOU Xiao-Xing<sup>2\*</sup> JIANG Chuan-Hao<sup>2</sup> HUANG Ze-Zhi<sup>1</sup>

(1. Shaoyang Medical College, Shaoyang, Hunan 422000, China)

(2. Hunan Provincial Key Laboratory for Special Pathogens Prevention and Control, Institution of Pathogenic Biology, University of South China, Hengyang, Hunan 421001, China)

**Abstract: [Objective]** This study aimed to clone the ferritin gene *Abferritin* from *Acinetobacter baumannii* and identify its anti-oxidative activity. **[Methods]** Relative expression of *Abferritin* under oxidative stress was analyzed by real-time PCR. The gene encoding sequence of *Abferritin* was inserted into the pET28a vector to generate the pET28a-*Abferritin* recombinant plasmid. This plasmid was transformed into the *E. coli* BL21(DE3) to create transformed strain of BL/pET28a-*Abferritin*. The *Abferritin* protein was expressed by IPTG induction and was purified by Ni<sup>2+</sup>-affinity chromatography. Kinetics of Fe<sup>2+</sup> oxidation which catalyzed by *Abferritin* protein was determined by spectrophotometric analysis. Anti-oxidative activity of *Abferritin* was examined by the radical scavenging assay. Survival ratios of the recombinant and control *E. coli* under the oxidative

基金项目：国家自然科学基金项目(No. 31000091); 特殊病原体防控湖南省重点实验室资助项目(湘科计字[2014]5号, 湘教通[2012]312号)

\*通讯作者: Tel: 86-734-8282913; ✉: youxiaoxing2013@gmail.com

收稿日期: 2014-06-10; 接受日期: 2014-09-02; 优先数字出版日期(www.cnki.net): 2014-09-28

stress of H<sub>2</sub>O<sub>2</sub> were also measured. [Results] Expression level of *Abferritin* was up-regulated in *A. baumannii* under oxidative stress. Abferritin protein was expressed in *E. coli* BL21(DE3) and was purified successfully. Ferroxidase activity assay demonstrated that the Abferritin protein could convert Fe<sup>2+</sup> to Fe<sup>3+</sup>. The hydroxyl radicals were scavenged by the Abferritin protein *in vitro* and the ectopic expression of Abferritin could increase the survival ratios of *E. coli* cells under the oxidative stress. [Conclusion] *Abferritin* was strongly up regulated under oxidative stress and the Abferritin protein exhibited ferroxidase and anti-oxidative activity.

**Keywords:** *Acinetobacter baumannii*, Ferritin protein, Anti-oxidative activity

氧自由基(Reactive oxygen species, Ros)是生物机体内含有氧原子并且性质活泼物质的总称<sup>[1]</sup>。Ros是细胞正常代谢的产物,免疫应答、抗生素等外源性刺激可引起Ros的增高。Ros极易与DNA、蛋白质和脂类物质反应,从而造成机体损伤<sup>[1]</sup>。为了对抗免疫应答过程中Ros的毒性作用,病原性细菌可能具备多种Ros降解机制从而逃避机体的免疫清除<sup>[1-2]</sup>。目前已证实某些细菌的铁蛋白(Ferritin)在抗氧化中发挥重要作用。Ferritin蛋白具有亚铁氧化酶活性,催化Fe<sup>2+</sup>生成Fe<sup>3+</sup>并能够储存Fe<sup>3+</sup>。同时也能抑制Fenton反应,减少氧自由基的产生从而发挥抗氧化功能<sup>[3-4]</sup>。

鲍曼不动杆菌(*Acinetobacter baumannii*)是一类在自然界广泛分布的条件致病革兰氏阴性杆菌<sup>[5]</sup>。该菌对湿热、紫外线、化学消毒剂及氧化胁迫具有极强的抵抗力。此外该菌容易产生多重耐药、泛耐药及全耐药<sup>[6-8]</sup>。多种抗生素杀灭细菌的一个共同作用机制是诱导Ros生成<sup>[1]</sup>。如多粘菌素能诱导Ros产生而清除鲍曼不动杆菌,抑制Ros生成后可削弱多粘菌素的抗菌效应,研究显示鲍曼不动杆菌可能具备一些抗氧化机制对抗抗生素的损伤<sup>[9]</sup>,但迄今未见鲍曼不动杆菌抗氧化相关蛋白的报道。本研究旨在初步探讨鲍曼不动杆菌铁蛋白的抗氧化功能,从而为其抗氧化的机制提供实验证据。

## 1 材料与方法

### 1.1 主要实验试剂

鲍曼不动杆菌购自美国ATCC(ATCC17978);大肠杆菌Top10、大肠杆菌BL21(DE3)和表达载体

pET28a由本实验室保存;反转录试剂盒、细菌DNA提取试剂盒、ExTaq酶、小量质粒DNA提取试剂盒、胶回收试剂盒购自大连TaKaRa公司;限制性内切酶Nde I、BamH I、T4 DNA连接酶和IPTG购自美国Fermentas公司;Trizol购自美国Invitrogen公司;PCR引物由上海Invitrogen公司合成;Ni<sup>2+</sup>亲和层析柱购自美国GE公司,其他化学试剂购自上海生工生物工程股份有限公司。

### 1.2 基因表达量的检测

挑取鲍曼不动杆菌克隆接种于LB培养基,37 °C、200 r/min培养过夜。取50 μL菌液接种到5 mL LB培养基,培养6 h后加入终浓度2 mmol/L马来酸二乙酯模拟氧化应激环境1 h或2 h。12 000 r/min离心2 min,收菌,利用TaKaRa RNA提取试剂盒提取总RNA,并将其反转录成cDNA。利用荧光定量检测不动杆菌*Abferritin*基因的表达。依据GenBank中查到的*Abferritin*基因和内参16S rRNA序列<sup>[10]</sup>,设计定量PCR引物,用于扩增*Abferritin*基因的上游引物AbF: 5'-GCTTAAACAGATTATGAA-3';下游序列为AbR: 5'-TTGGTTGGCACCT-3';扩增片段大小为103 bp。内参16S rRNA上游引物SF: 5'-CGTTACTCGCAGATAAGCACCG-3';下游引物SR: 5'-ACCTGGAA-TTCTTACCATC-3';扩增片段为202 bp。定量PCR体系为2×SYBR Premix Ex<sup>TM</sup> TaqII 12.5 μL,50×ROX Reference Dye 0.5 μL,10 μmol/L的上、下游引物各1 μL,cDNA模板0.5 μL,最后加RNase-free去离子水至25 μL。反应条件为:95 °C 30 s;95 °C 5 s,60 °C 31 s,40个循环,在每个循

环退火时收集信号, 得到 16S rRNA 和 *Abferritin* 基因的  $C_t$  值, 计算 *Abferritin* 基因的相对表达量。

### 1.3 鲍曼不动杆菌 *Abferritin* 基因的扩增

GenBank 中查得不动杆菌 *Abferritin* 基因全长, 设计上游引物: 5'-CCCATATGCGTGGCAATC CAGAA-3' (下划线为 *Nde* I 酶切位点), 下游引物: 5'-CCCTCGAGTTAATTTGAGACTGGATAT-3' (下划线为 *BamH* I 酶切位点)。以 ATCC17978 不动杆菌基因组 DNA 为模板, PCR 扩增不动杆菌 *Abferritin* 基因。PCR 反应条件为: 94 °C 5 min; 94 °C 30 s, 52 °C 45 s, 72 °C 60 s, 30 个循环; 72 °C 5 min。将 PCR 产物进行琼脂糖凝胶电泳, 利用胶回收试剂盒回收 *Abferritin* 基因 PCR 产物。

### 1.4 表达载体的构建与鉴定

将 pET28a 载体和回收的 *Abferritin* 片段各自用 *Nde* I 和 *BamH* I 进行酶切。胶回收酶切产物, 将回收的 pET28a 和 *Abferritin* 在 T4 DNA 连接酶作用下 16 °C 连接过夜, 转化大肠杆菌 Top10, 涂布于含 Kana 的 LB 琼脂平板, 37 °C 培养 16 h。挑取阳性转化子提取质粒进行酶切鉴定, 阳性菌株送上海生工生物技术服务有限公司进行测序。

### 1.5 重组蛋白的表达与纯化

将构建成功的表达载体 pET28a-*Abferritin* 转化大肠杆菌 BL21(DE3)得到重组菌 BL/pET28a-*Abferritin*。随后接种于 LB 培养基中 37 °C、200 r/min 培养过夜, 将过夜培养的菌液按 1:100 的体积接种 LB 培养基; 待菌液培养至  $OD_{600}$  约为 0.5 时加入终浓度为 0.5 mmol/L IPTG 诱导 4 h, 离心收集菌体, PBS 重悬, 冰浴超声破碎后 12 000 r/min 离心 20 min, 上清经 0.45 μm 滤膜过滤后上样于  $Ni^{2+}$  亲和层析柱, 用洗涤缓冲液(50 mmol/L NaH<sub>2</sub>PO<sub>4</sub>, 0.3 mol/L NaCl, 40 mmol/L 咪唑, pH 8.0)洗柱, 并用洗脱缓冲液(50 mmol/L NaH<sub>2</sub>PO<sub>4</sub>, 0.3 mol/L NaCl, 250 mmol/L 咪唑, pH 8.0)洗脱, 收集目的蛋白, 除盐后冻干, SDS-PAGE 检测纯化结果, Bradford 法测定 *Abferritin* 蛋白的含量。

### 1.6 *Abferritin* 蛋白促铁氧化动力学分析

由于  $Fe^{3+}$  在波长 310 nm 处具有特异性吸收光谱, 而  $Fe^{2+}$  并不存在这种吸收光谱, 可以利用该特性来检测溶液中  $Fe^{3+}$  浓度的变化。用缓冲液(20 mmol/L Tirs-HCl, 100 mmol/L NaCl, pH 7.5)新鲜配制 100 μmol/L 的底物反应体系  $Fe(NH_4)_2(SO_4)_2$ 。取 0.1 mg *Abferritin* 蛋白加入到 1 mL 终浓度为 10 μmol/L 的  $Fe(NH_4)_2(SO_4)_2$  溶液, 混匀后立即利用分光光度计记录 310 nm 处的吸光值, 每隔 5 s 记录一次, 共 120 s, 以未加 *Abferritin* 蛋白的  $Fe(NH_4)_2(SO_4)_2$  溶液为阴性对照。

### 1.7 *Abferritin* 蛋白羟基自由基清除实验

采用 2-脱氧核糖降解法测定 *Abferritin* 蛋白羟基自由基清除实验。配制 400 μL 样品溶液: 10 μmol/L FeSO<sub>4</sub>, 100 μmol/L H<sub>2</sub>O<sub>2</sub>, 2.8 mmol/L 二脱氧核糖, 10 mmol/L 磷酸盐缓冲液(pH 7.4), 10 μmol/L Ascorbic acid 和不同浓度的 *Abferritin* 蛋白/BSA 蛋白。将样品溶液 37 °C 处理 5 min 后, 取 200 μL 样品溶液加入到 100 μL 的 10% 三氯乙酸(质量体积比)和 100 μL 的 1% 硫代巴比妥酸(质量体积比)。80 °C 反应 1 h, 12 000 r/min 离心 5 min。冷却后测定其吸光度( $A_{532}-A_{600}$ ), 根据丙二醛的摩尔吸光系数  $1.56 \times 10^5 L/(mol \cdot cm)$ , 计算 *Abferritin* 蛋白和 BSA 蛋白对氧自由基的半抑制浓度值( $IC_{50}$ )。

### 1.8 大肠杆菌重组子抗氧化实验

将能表达 *Abferritin* 蛋白的大肠杆菌和含空载体的对照菌置于 LB (含有 50 mg/L Kana)液体培养基中培养。当  $OD_{600}$  为 0.5 时, 加入 IPTG 至终浓度为 1 mmol/L。诱导培养 4 h。将大肠杆菌分别用 0.5 或 1.0 mmol/L 的 H<sub>2</sub>O<sub>2</sub> 处理 20 min。将处理后的菌液梯度稀释  $10^4$ ~ $10^7$  倍, 涂于 LB 平板, 菌落计数。

### 1.9 统计学分析

所有实验重复 3 次, 计量资料采用  $\bar{x} \pm s$  表示, 并用 GraphPad Prism 软件进行单因素方差分析,  $P < 0.05$  表明有统计学意义。

## 2 结果与分析

### 2.1 氧化胁迫提高鲍曼不动杆菌 *Abferritin* 基因的表达

荧光定量 PCR 结果显示, 2 mmol/L 马来酸二乙酯处理后, 鲍曼不动杆菌 *Abferritin* 基因表达量明显增高。当处理 1 h 时, *Abferritin* 基因的表达提高了 4.8 倍, 处理 2 h 后, *Abferritin* 基因的表达提高了 5.7 倍(图 1)。

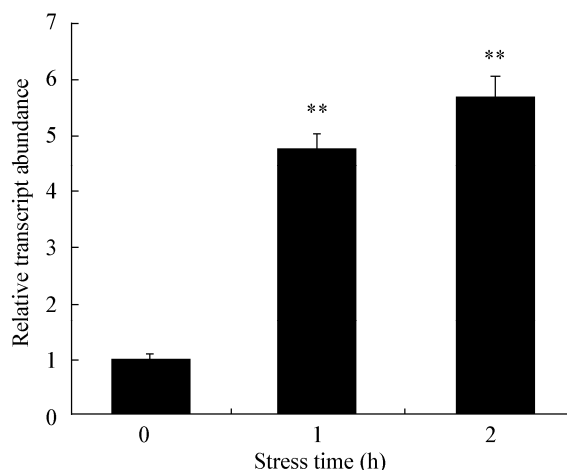


图 1 氧化应激对 *Abferritin* 基因表达的影响

**Figure 1 The relative expressions of the *Abferritin* under oxidative stress**

注: \*\*: 与对照组(0 h)相比  $P<0.01$ .

Note: \*\*:  $P<0.01$  as compared with control (0 h).

### 2.2 *Abferritin* 基因的扩增和重组质粒的鉴定

以鲍曼不动杆菌基因组为模板, 扩增 *Abferritin* 基因, 其片段大小约为 470 bp, 与预期大小一致(图 2)。重组质粒 pET28a-*Abferritin* 利用 *Nde* I 和 *Bam*H I 酶切后可以见到两条带, 其中 5 000 bp 左右的片段为载体, 小片段为 *Abferritin* 基因, 大小约为 470 bp, 与预期相符(图 3)。DNA 测序结果与 GenBank 登录号 AHB92462.1 序列一致。

### 2.3 *Abferritin* 蛋白的表达与纯化

将构建好的重组质粒 pET28a-*Abferritin* 转化到 BL21(DE3), 然后诱导 *Abferritin* 蛋白的表达, 经 SDS-PAGE 电泳分离, 与空白对照相比, 诱导组

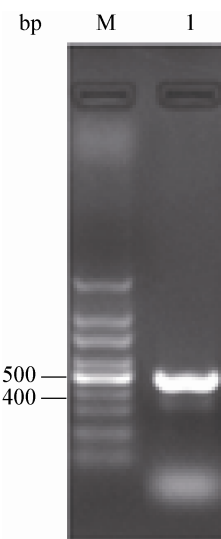


图 2 *Abferritin* 基因 PCR 扩增产物电泳图

**Figure 2 Electrophoretic profile of PCR product of the *Abferritin* gene**

注: M: Marker; 1: *Abferritin* 基因扩增产物.

Note: M: Molecular weight marker; 1: *Abferritin* gene.

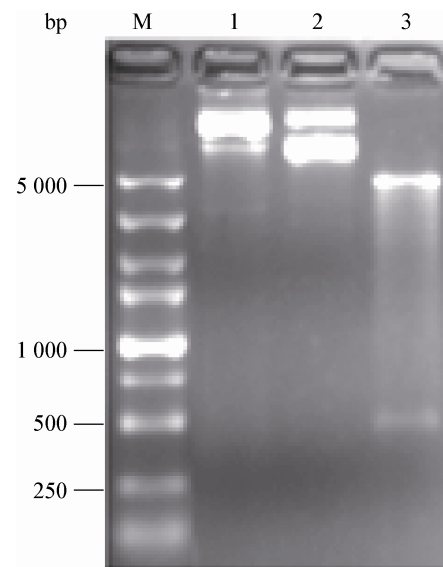


图 3 pET28a-*Abferritin* 的酶切鉴定

**Figure 3 Identification of plasmid pET28a-*Abferritin* by digestion**

注: M: DNA marker; 1: pET28a 空载体; 2: pET28a-*Abferritin* 重组质粒; 3: pET28a-*Abferritin* 重组质粒经 *Nde* I 和 *Bam*H I 双酶切产物.

Note: M: DNA marker; 1: pET28a plasmid; 2: pET28a-*Abferritin* plasmid; 3: pET28a-*Abferritin* digested with *Nde* I and *Bam*H I .

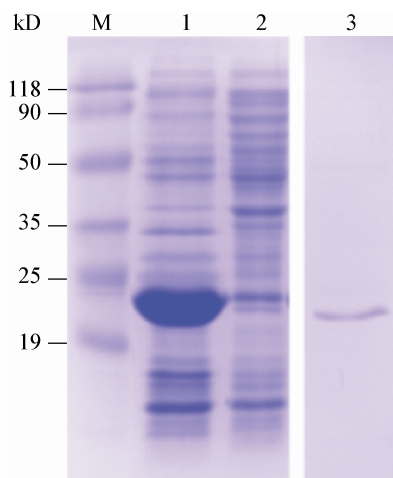
在 20 kD 左右有明显条带，与预期理论分子量一致（图 4）。用镍离子柱亲和纯化，透析，其纯度约为 98%。

#### 2.4 Abferritin 蛋白的促铁氧化动力学分析

未加入 Abferritin 蛋白的  $\text{Fe}(\text{NH}_4)_2(\text{SO}_4)_2$  溶液吸收光值约为 0.05，并且在 2 min 内基本不变，加入 Abferritin 蛋白后，反应体系中 310 nm 处的吸光值发生了急剧变化，在 30 s 内从 0.05 快速上升到 0.45（图 5）。

#### 2.5 Abferritin 蛋白的抗氧化分析

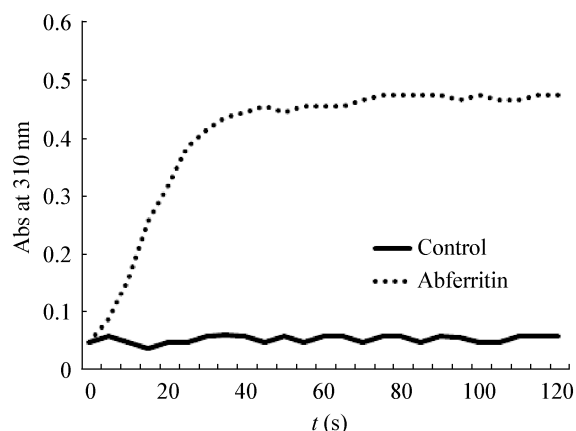
为了验证鲍曼不动杆菌 Abferritin 蛋白的抗氧化功能，利用 2-脱氧核糖降解法检测 Abferritin 蛋白是否能减弱  $\text{Fe}^{2+}$  参与的 Fenton 反应。羟基自由基清除能力用半抑制浓度 ( $IC_{50}$ ) 表示。结果发现 Abferritin 蛋白的  $IC_{50}$  值约为 0.6 g/L，而阳性对照 BSA 蛋白的  $IC_{50}$  约为 0.9 g/L，表明 Abferritin 蛋白清除氧自由基的能力强于 BSA（图 6）。



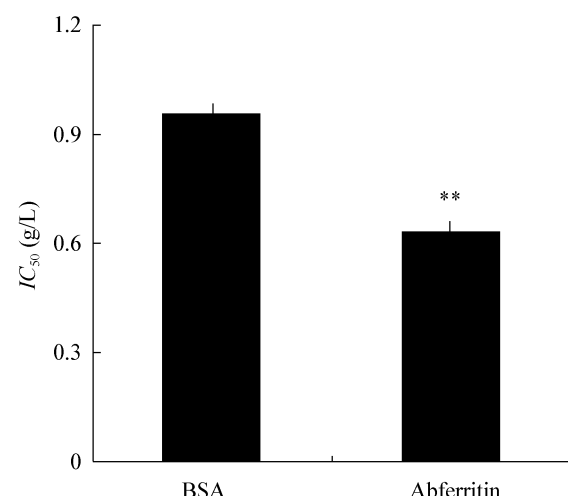
**图 4 Abferritin 重组蛋白的诱导表达与纯化**  
**Figure 4 The expression and purification of recombinant Abferritin protein**

注：M：蛋白 Marker；1：重组菌 BL21/pET28a-Abferritin 的诱导产物；2：对照菌 BL21/pET28a 的诱导产物；3：经  $\text{Ni}^{2+}$  亲和层析纯化后的 Abferritin 蛋白。

Note: M: Molecular weight marker; 1: The proteins of BL21/pET28a-Abferritin induced by IPTG; 2: The proteins of BL21/pET28a induced by IPTG; 3: The Abferritin protein after purified by  $\text{Ni}^{2+}$  pillar.



**图 5 Abferritin 蛋白催化亚铁离子氧化动态曲线图**  
**Figure 5 Kinetics of the iron oxidation and incorporation in Abferritin**



**图 6 Abferritin 蛋白和 BSA 蛋白清除氧自由基的  $IC_{50}$  值**  
**Figure 6 Antioxidative activities of Abferritin and BSA protein were indicated as  $IC_{50}$**

注：\*\*：与对照 BSA 相比  $P<0.01$ 。

Note: \*\*:  $P<0.01$  as compared with BSA.

#### 2.6 氧化应激对 Abferritin 转化的大肠杆菌存活率的影响

将能表达 Abferritin 蛋白的转基因大肠杆菌 BL/pET28a-Abferritin 和转空载体的对照菌 BL/pET28a 分别加入终浓度为 0、0.5 和 1.0 mmol/L 的  $\text{H}_2\text{O}_2$  处理 20 min。由图 7 可知，在相同的  $\text{H}_2\text{O}_2$  浓度时，转空载体对照菌株的存活率明显低于转 Abferritin 基因的 BL/pET28a-Abferritin 菌株。

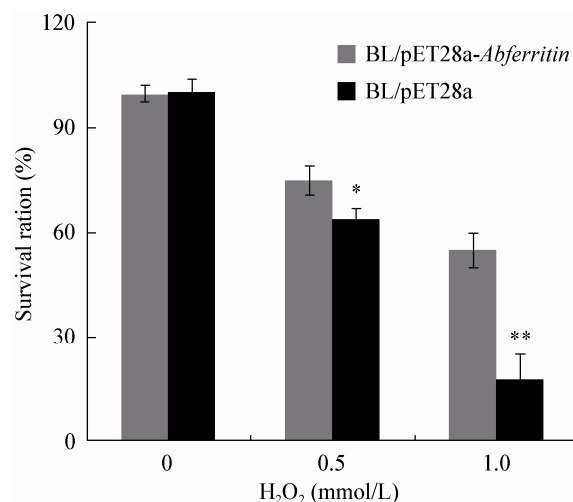


图 7 BL/pET28a-Abferritin 重组子和对照菌 BL/pET28a 经不同浓度 H<sub>2</sub>O<sub>2</sub> 胁迫后的存活率

Figure 7 The survival ratios of BL/pET28a-Abferritin and BL/pET28a under the stresses of different concentrations of H<sub>2</sub>O<sub>2</sub>

注: 与对照(BL/pET28a)相比, \*: P<0.05; \*\*: P<0.01.

Note: \*: P<0.05; \*\*: P<0.01, as compared with the control (BL/pET28a).

### 3 讨论

Ferritin 蛋白是一种保守性较强的多亚基蛋白,通常是由 24 个单体构成一个复合物。此复合物在细胞中发挥多重功能,一是将机体里过剩的铁储存,使机体减少氧自由基的产生,免受氧化伤害;二是当铁离子不足时,释放储存的铁离子供机体正常使用<sup>[11]</sup>。研究证实沙门氏菌和单核细胞增生李斯特氏菌的 Ferritin 类似蛋白可以结合铁离子<sup>[12-13]</sup>,减少细菌体内的氧自由基含量,从而保护细菌免受抗生素的伤害。结核分枝杆菌的 Ferritin 基因功能缺失后,容易被抗生素和宿主免疫系统产生的氧自由基杀死,这些研究表明 Ferritin 蛋白在细菌抵抗氧化胁迫中起重要作用<sup>[14]</sup>。

鲍曼不动杆菌能黏附在各种物品的表面,普遍存在于自然环境和医院,其生长条件极其简单,能够快速的适应各种环境<sup>[15]</sup>。鲍曼不动杆菌能快速获得耐药性,现今流行和暴发的鲍曼不动杆菌都具有多重耐药性和泛耐药性<sup>[5-6,15]</sup>。我们在鲍曼不动

杆菌中发现一个 Ferritin 类似基因 Abferritin。本研究检测了氧化胁迫下 Abferritin 基因的表达量,荧光定量 PCR 结果表明胁迫 1 h 后,鲍曼不动杆菌 Abferritin 基因的表达量上调 4.8 倍,2 h 后上调 5.7 倍,这表明氧化应激条件下能快速诱导鲍曼不动杆菌 Abferritin 基因表达以对抗各种氧化应激对其的损伤。

为了研究 Abferritin 蛋白的抗氧化功能及其作用机理,本研究利用基因工程的方法从鲍曼不动杆菌克隆到 Abferritin 基因,构建了 pET28a-Abferritin 原核表达载体,并在大肠杆菌中得到高效表达,利用亲和纯化得到 Abferritin 蛋白。体外实验证实 Abferritin 蛋白具有亚铁氧化酶活性,能够催化亚铁离子生成铁离子。Abferritin 蛋白能够阻止 Fenton 反应,减少氧自由基的产生,具有抗氧化的能力,且抗氧化能力强过哺乳动物的抗氧化蛋白 BSA。故推测鲍曼不动杆菌 Abferritin 蛋白通过结合铁离子从而减轻各种因素所致的氧化损伤。同时,本研究还观察了转化有 Abferritin 基因和转空载体(对照)的大肠杆菌在氧化应急条件下的存活率,发现 Abferritin 基因的表达能够提高大肠杆菌在氧化应激条件下的存活率,说明 Abferritin 蛋白能赋予大肠杆菌抵抗氧化胁迫的能力。

鲍曼不动杆菌是医院感染中的重要病原体之一,该菌的抗氧化机制并不清楚。本研究发现氧化胁迫能够诱导 Abferritin 基因表达上调,同时证明 Abferritin 蛋白具有亚铁氧化酶活性和抵抗氧化应激的功能,这可能是鲍曼不动杆菌发挥致病作用的一种新机制。

### 参 考 文 献

- [1] Kohanski MA, Dwyer DJ, Hayete B, et al. A common mechanism of cellular death induced by bactericidal antibiotics[J]. Cell, 2007, 130(5): 797-810.
- [2] 严卓彦, 许镇坚, 许光治, 等. 耐辐射奇球菌 *dps* 突变株的构建和蛋白功能初步研究[J]. 微生物学报, 2014, 47(5): 610-615.
- [3] Lu J, Holmgren A. The thioredoxin antioxidant system[J]. Free Radical Biology and Medicine, 2014, 66: 75-87.

- [4] Zhao G, Ceci P, Ilari A, et al. Iron and hydrogen peroxide detoxification properties of DNA-binding protein from starved cells. A ferritin-like DNA-binding protein of *Escherichia coli*[J]. *The Journal of Biological Chemistry*, 2002, 277(31): 27689-27696.
- [5] Lima AL, Oliveira PR, Paula AP. *Acinetobacter* infection[J]. *The New England Journal of Medicine*, 2008, 358(26): 1271-1281.
- [6] Dijkshoorn L, Nemec A, Seifert H. An increasing threat in hospitals: multidrug-resistant *Acinetobacter baumannii*[J]. *Nature Reviews Microbiology*, 2007, 5(12): 939-951.
- [7] Dy ME, Nord JA, LaBombardi VJ, et al. The emergence of resistant strains of *Acinetobacter baumannii*: clinical and infection control implications[J]. *Infection Control and Hospital Epidemiology*, 1999, 20(8): 565-567.
- [8] Hirai Y. Survival of bacteria under dry conditions: from a viewpoint of nosocomial infection[J]. *The Journal of Hospital Infection*, 1991, 19(3): 191-200.
- [9] Sampson TR, Liu X, Schroeder MR, et al. Rapid killing of *Acinetobacter baumannii* by polymyxins is mediated by a hydroxyl radical death pathway[J]. *Antimicrobial Agents and Chemotherapy*, 2012, 56(11): 5642-5649.
- [10] Smith MG, Gianoulis TA, Pukatzki S, et al. New insights into *Acinetobacter baumannii* pathogenesis revealed by high-density pyrosequencing and transposon mutagenesis[J]. *Genes & Development*, 2007, 21(5): 601-614.
- [11] Kilic MA, Spiro S, Moore GR. Stability of a 24-meric homopolymer: comparative studies of assembly-defective mutants of *Rhodobacter capsulatus* bacterioferritin and the native protein[J]. *Protein Science*, 2003, 12(8): 1663-1674.
- [12] Calhoun LN, Kwon YM. The ferritin-like protein Dps protects *Salmonella enterica* serotype Enteritidis from the Fenton-mediated killing mechanism of bactericidal antibiotics[J]. *International Journal of Antimicrobial Agents*, 2011, 37(3): 261-265.
- [13] Krawczyk-Balska A, Lipiak M. Critical role of a ferritin-like protein in the control of *Listeria monocytogenes* cell envelope structure and stability under beta-lactam pressure[J]. *PLoS One*, 2013, 8(10): e77808.
- [14] Pandey R, Rodriguez GM. A ferritin mutant of *Mycobacterium tuberculosis* is highly susceptible to killing by antibiotics and is unable to establish a chronic infection in mice[J]. *Infection and Immunity*, 2012, 80(10): 3650-3659.
- [15] Ni W, Cui J, Liang B, et al. *In vitro* effects of tigecycline in combination with colistin (polymyxin E) and sulbactam against multidrug-resistant *Acinetobacter baumannii*[J]. *The Journal of Antibiotics*, 2013, 66(12): 705-708.